Zeitschrift: Cahiers d'archéologie romande
Herausgeber: Bibliothèque Historique Vaudoise

**Band:** 13 (1978)

Artikel: Horizon supérieur secteur occidental et tombes bronze ancien : texte

Autor: Bocksberger, O.-J. Rubrik: Figures hors texte

**DOI:** https://doi.org/10.5169/seals-835515

#### Nutzungsbedingungen

Die ETH-Bibliothek ist die Anbieterin der digitalisierten Zeitschriften auf E-Periodica. Sie besitzt keine Urheberrechte an den Zeitschriften und ist nicht verantwortlich für deren Inhalte. Die Rechte liegen in der Regel bei den Herausgebern beziehungsweise den externen Rechteinhabern. Das Veröffentlichen von Bildern in Print- und Online-Publikationen sowie auf Social Media-Kanälen oder Webseiten ist nur mit vorheriger Genehmigung der Rechteinhaber erlaubt. Mehr erfahren

#### **Conditions d'utilisation**

L'ETH Library est le fournisseur des revues numérisées. Elle ne détient aucun droit d'auteur sur les revues et n'est pas responsable de leur contenu. En règle générale, les droits sont détenus par les éditeurs ou les détenteurs de droits externes. La reproduction d'images dans des publications imprimées ou en ligne ainsi que sur des canaux de médias sociaux ou des sites web n'est autorisée qu'avec l'accord préalable des détenteurs des droits. En savoir plus

#### Terms of use

The ETH Library is the provider of the digitised journals. It does not own any copyrights to the journals and is not responsible for their content. The rights usually lie with the publishers or the external rights holders. Publishing images in print and online publications, as well as on social media channels or websites, is only permitted with the prior consent of the rights holders. Find out more

**Download PDF:** 16.09.2025

ETH-Bibliothek Zürich, E-Periodica, https://www.e-periodica.ch

# FIGURES HORS TEXTE

### Analyses métalliques

Agoase Sarbura & Ottaway di depirtement d'archeològie de l'Université d'Edinburgh & analysé deux objets de bronce provenent de l'horizon supérieur du Fetit-Chasseur

1. Analyse 50 - Arene 171 provenset de la foxes d'inclaévations du Bolmes MVI (voir Bocksberger, 1976, catalogue p. 27 et pl. 35).

2. Analyse 51 : Mache spatule 510 provenant de la tombe Bronze ancien c<sup>6</sup> l (voir présent volume)

### FIGURES HORS TEXTE

#### Behantillen 50

Dank methodes ont ére utilisées : l'activation neutronique (Sn. Av. Sb. Ag. Ag. Sn. Co) et le spectrostopie par absorbtion atomique (Pb. Ni. Bi, Fe).

The a analysi cous was dissents traces habisustices of determines par is groups do stuttgart as the parmet de comparer les résultats.

Ries entends il faut tenir compts du joit que les dour méthodes attlisées sont plus ernstiles que l'analyse spectroscomque utilisée à Stuttgart.

Ainst certaines pateurs très basses obtenues ist que utalent été assimilées à Sluttgart à la catégorie straces, le ne suit pas entidrement estrajaire de la pateur cotenue paur l'étain dans l'analyse no bo est elle a une dévigition standard haute. Evie ne paut naintennement pas être amélierée par l'étair dans l'analyse no bo est trop metits (B. 5) Ottoway, l'entre da la 5136781.

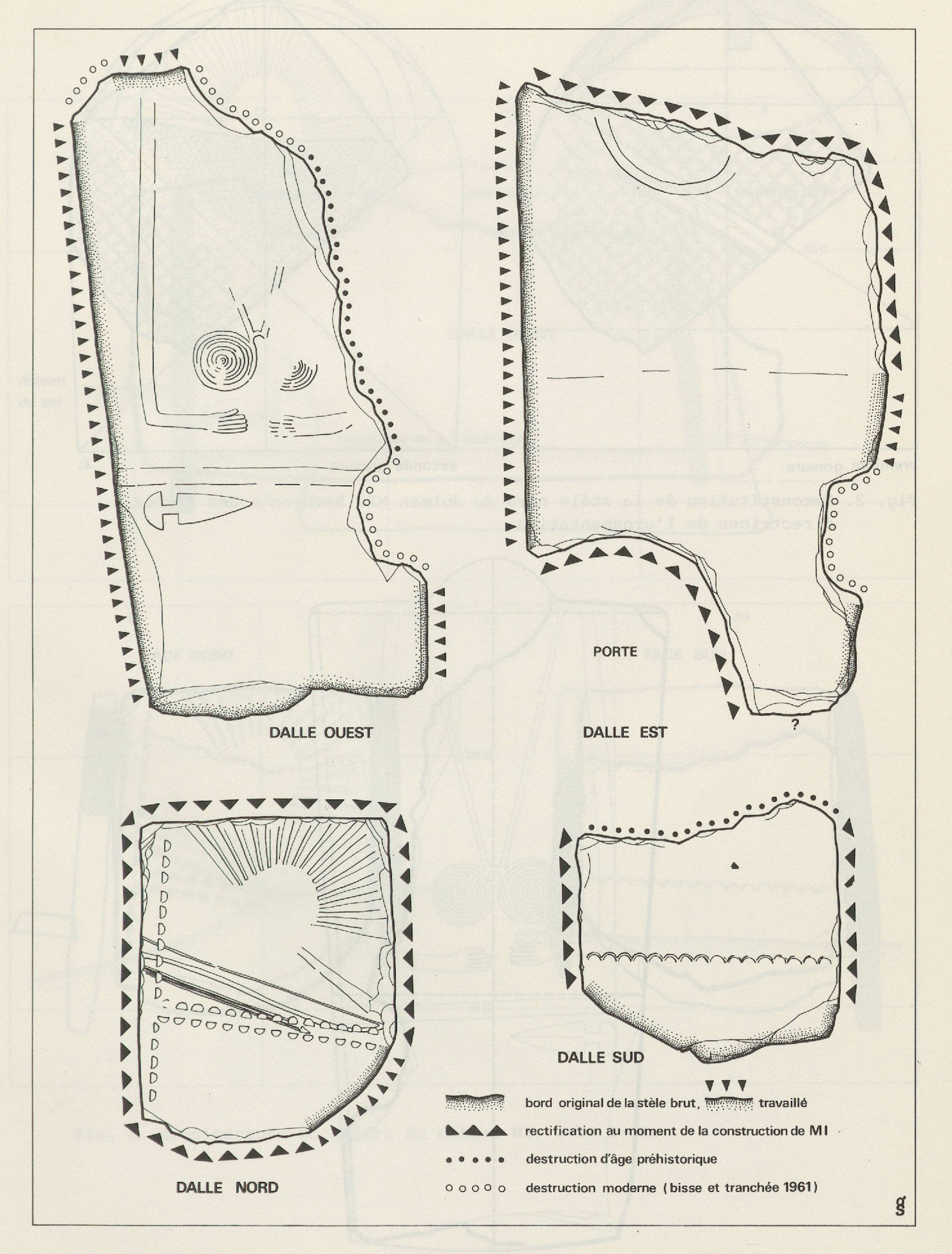


Fig. 1. Etat de conservation des dalles du dolmen MI au moment de la découverte. Ech. 1:20.

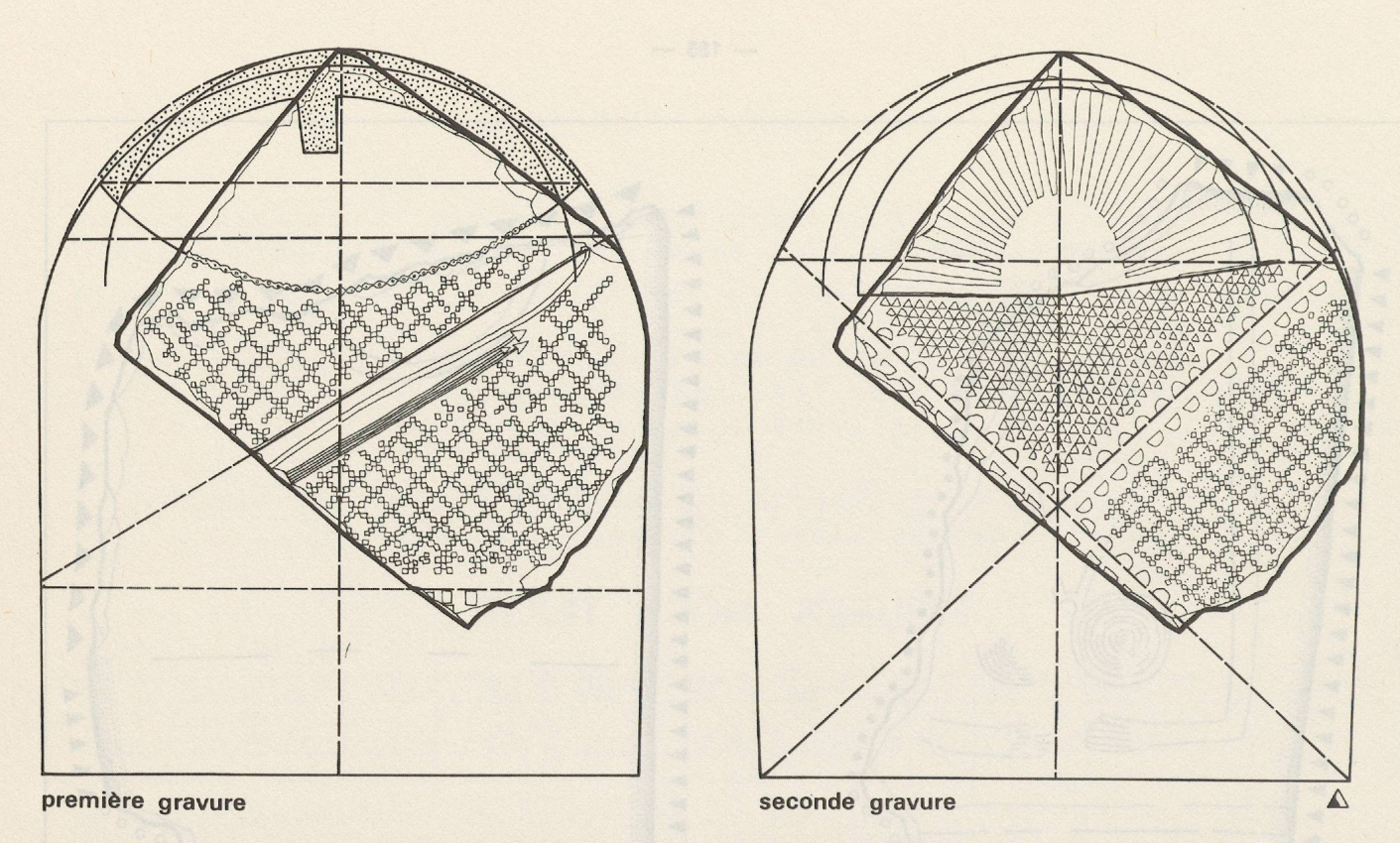


Fig. 2. Reconstitution de la stèle nord du dolmen MI. Recherche des lignes directrices de l'ornementation.

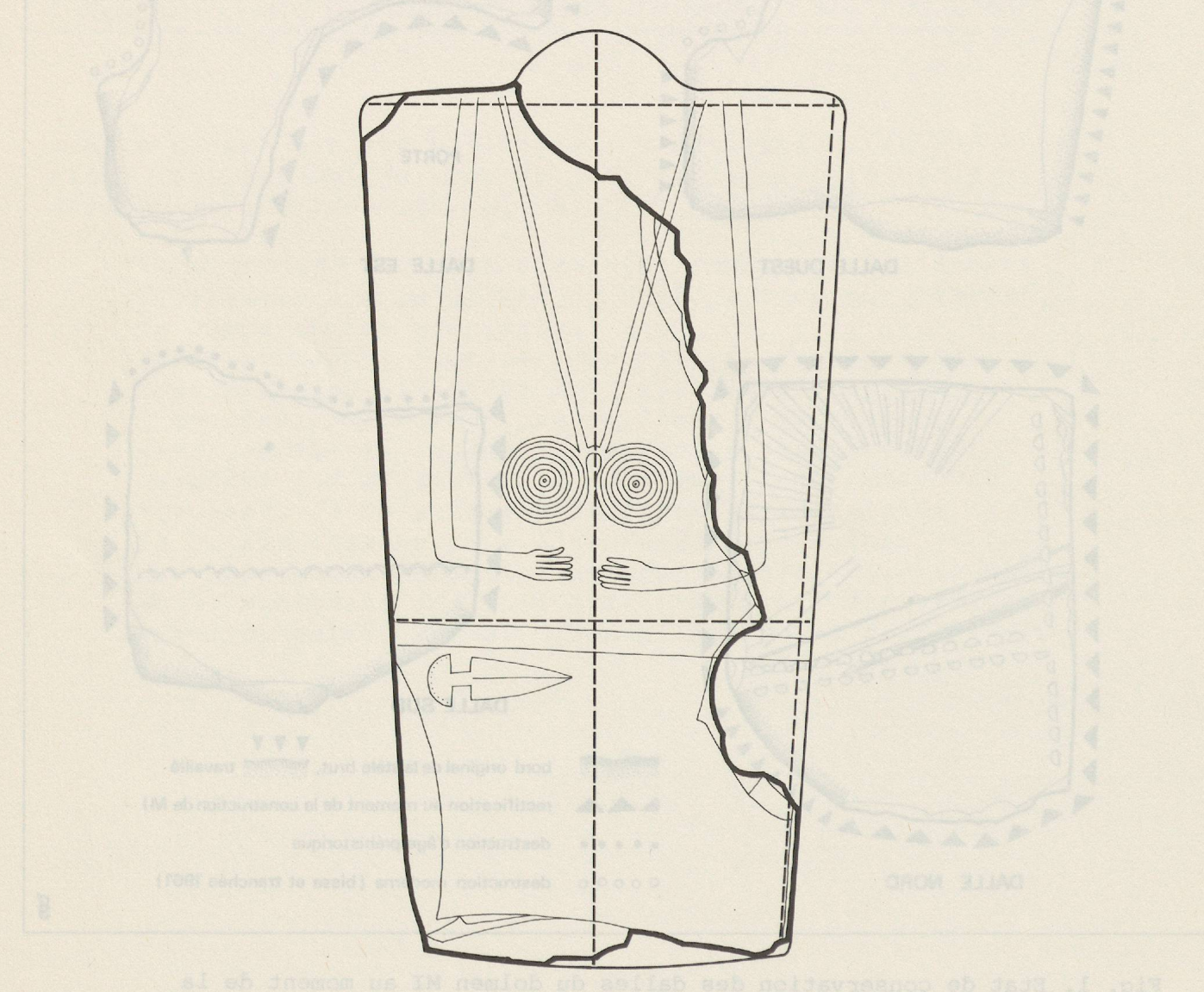
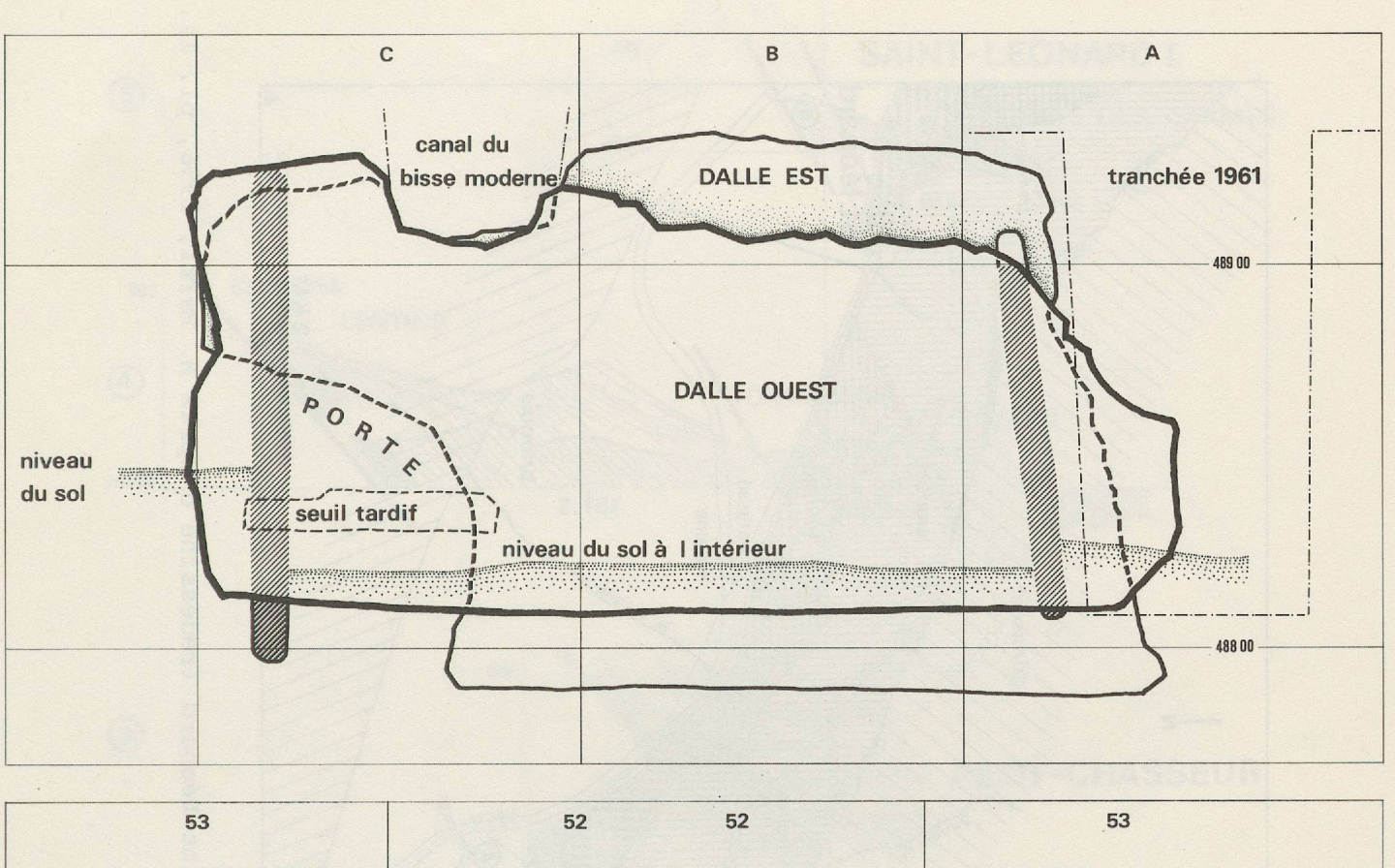


Fig. 3. Reconstitution de la stèle ouest du dolmen MI. Le bord gauche de la stèle (reconstitué) est situé légèrement au-delà de la ligne donnée par l'axe de symétrie (tirets).



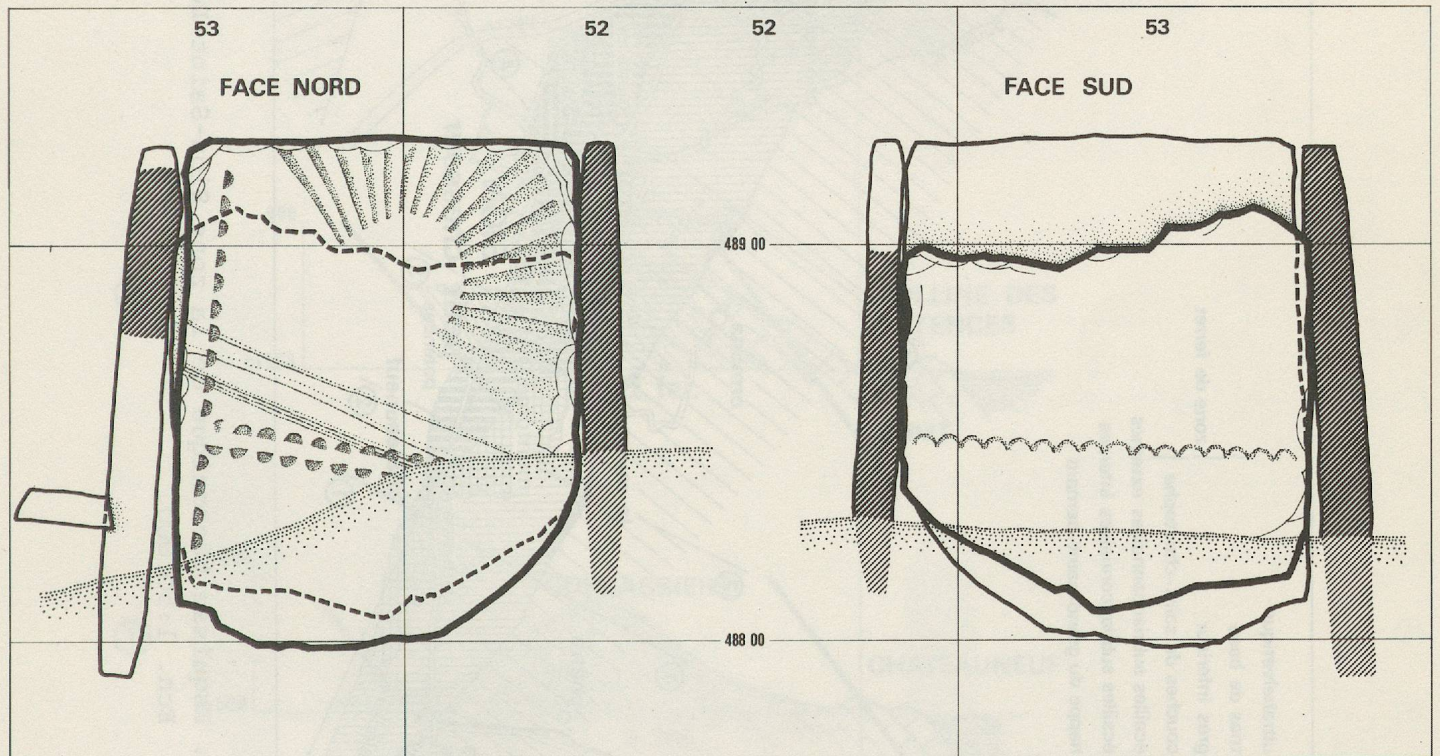


Fig. 4. Architecture du coffre du dolmen MI. Ech. 1:20.

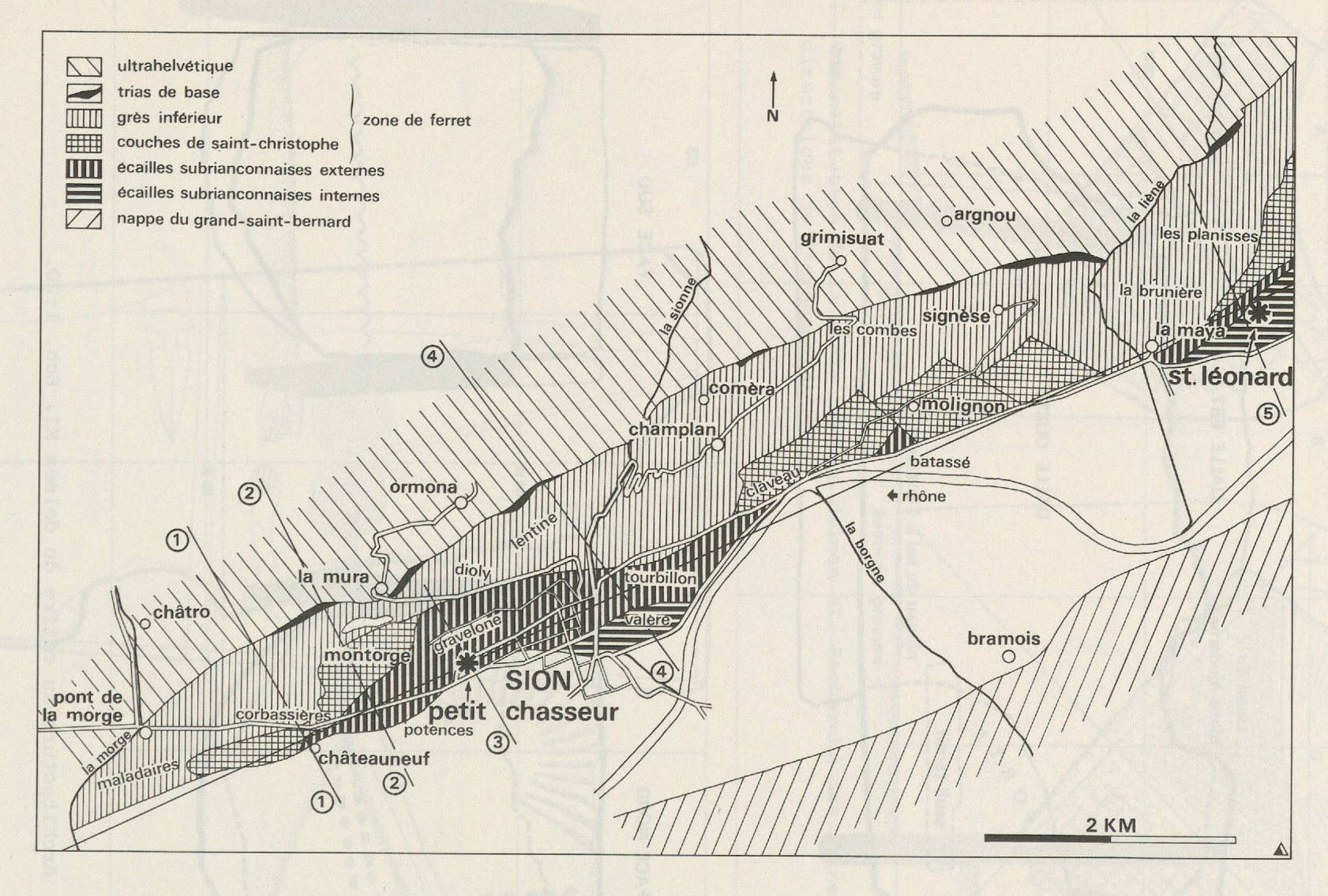


Fig. 5. Esquisse tectonique de la zone Sion-Saint-Léonard (redessiné d'après M. Burri, 1956, pl. 1). Ech. 1:50.000.

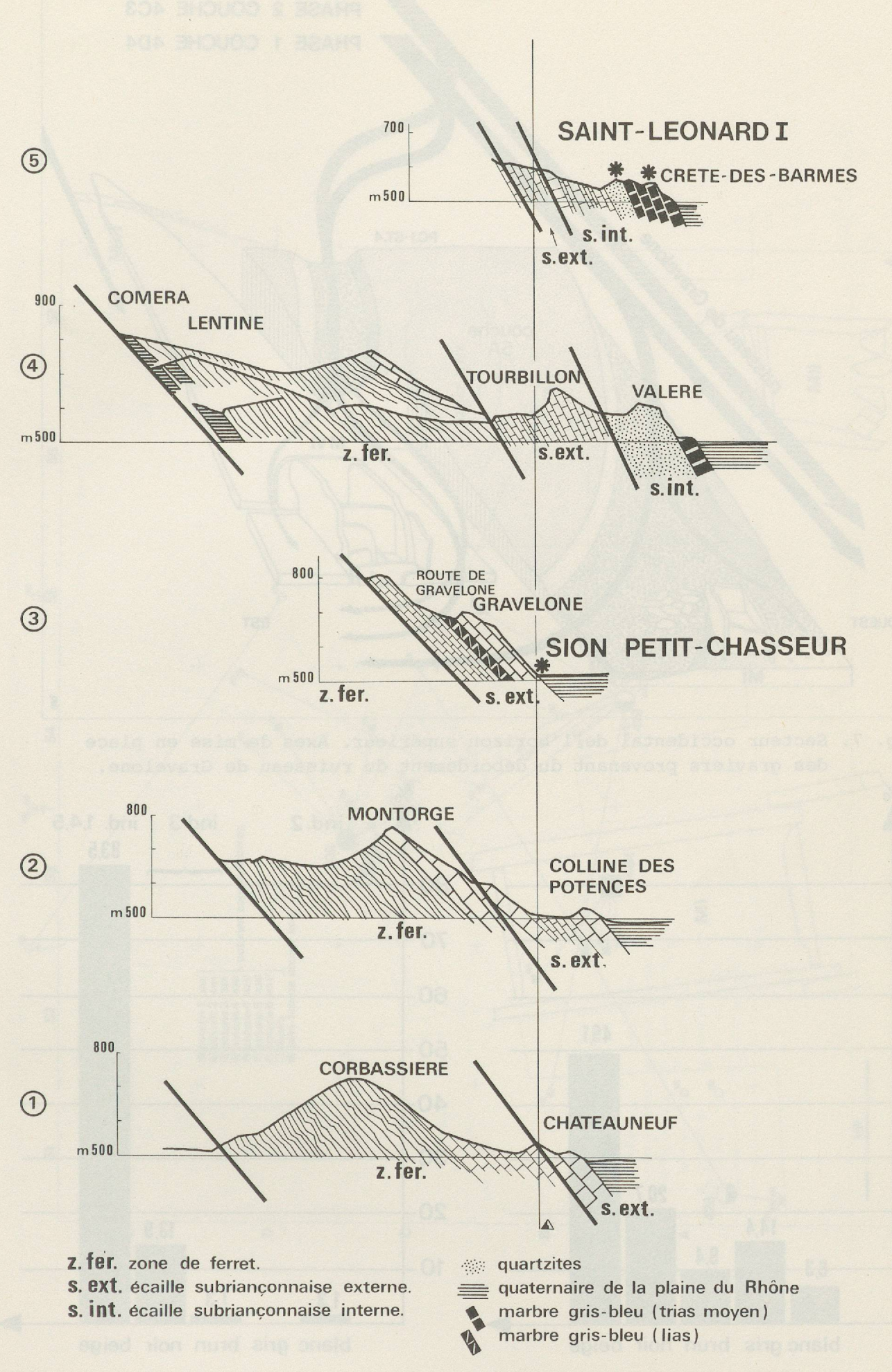


Fig. 6. Coupes schématiques à travers les écailles subriançonnaises (redessiné d'après M. Burri, 1956, pl. 2 et 3, et fig. 4. Localisation voir fig. 5). Ech. 1:16.000.

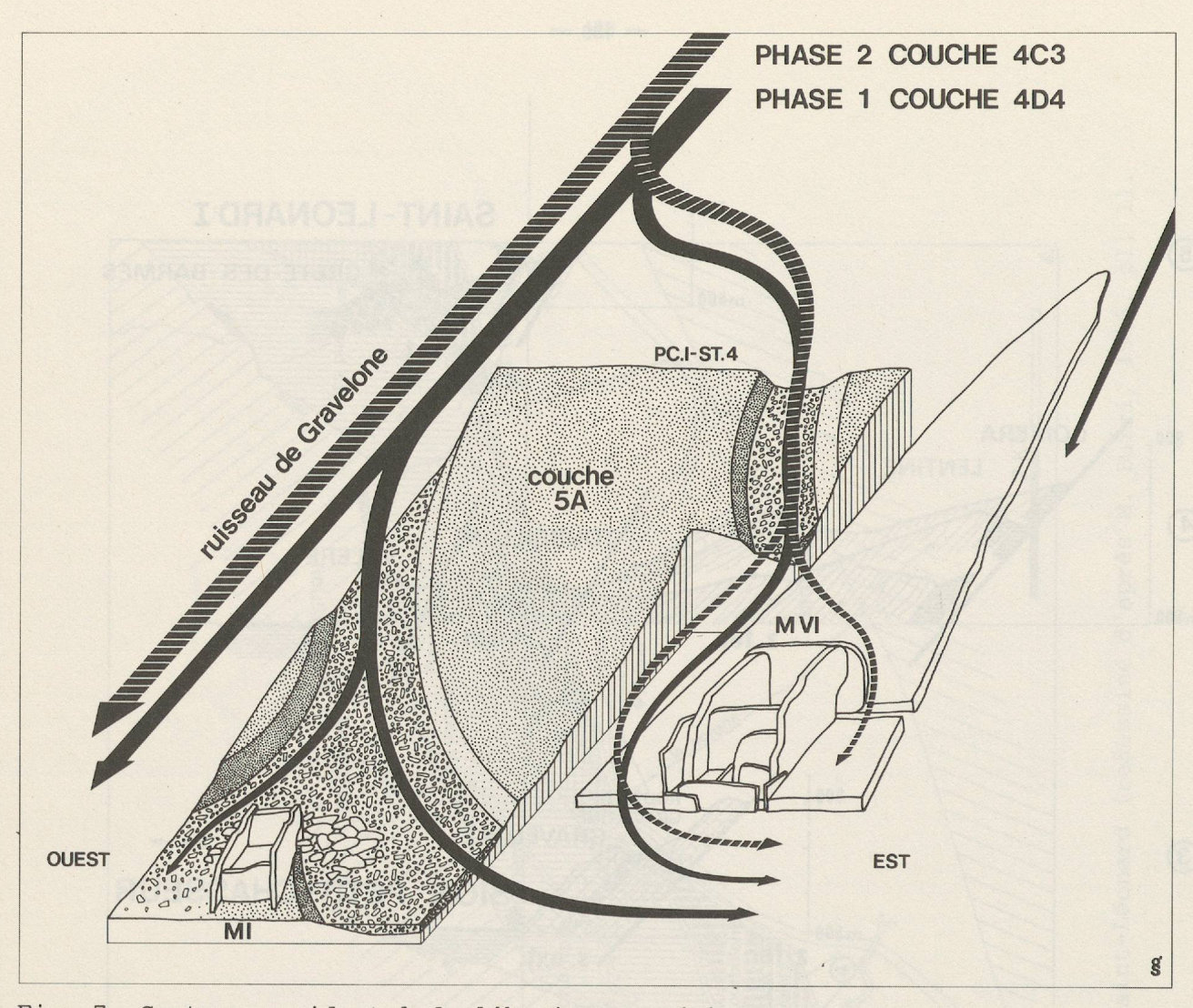
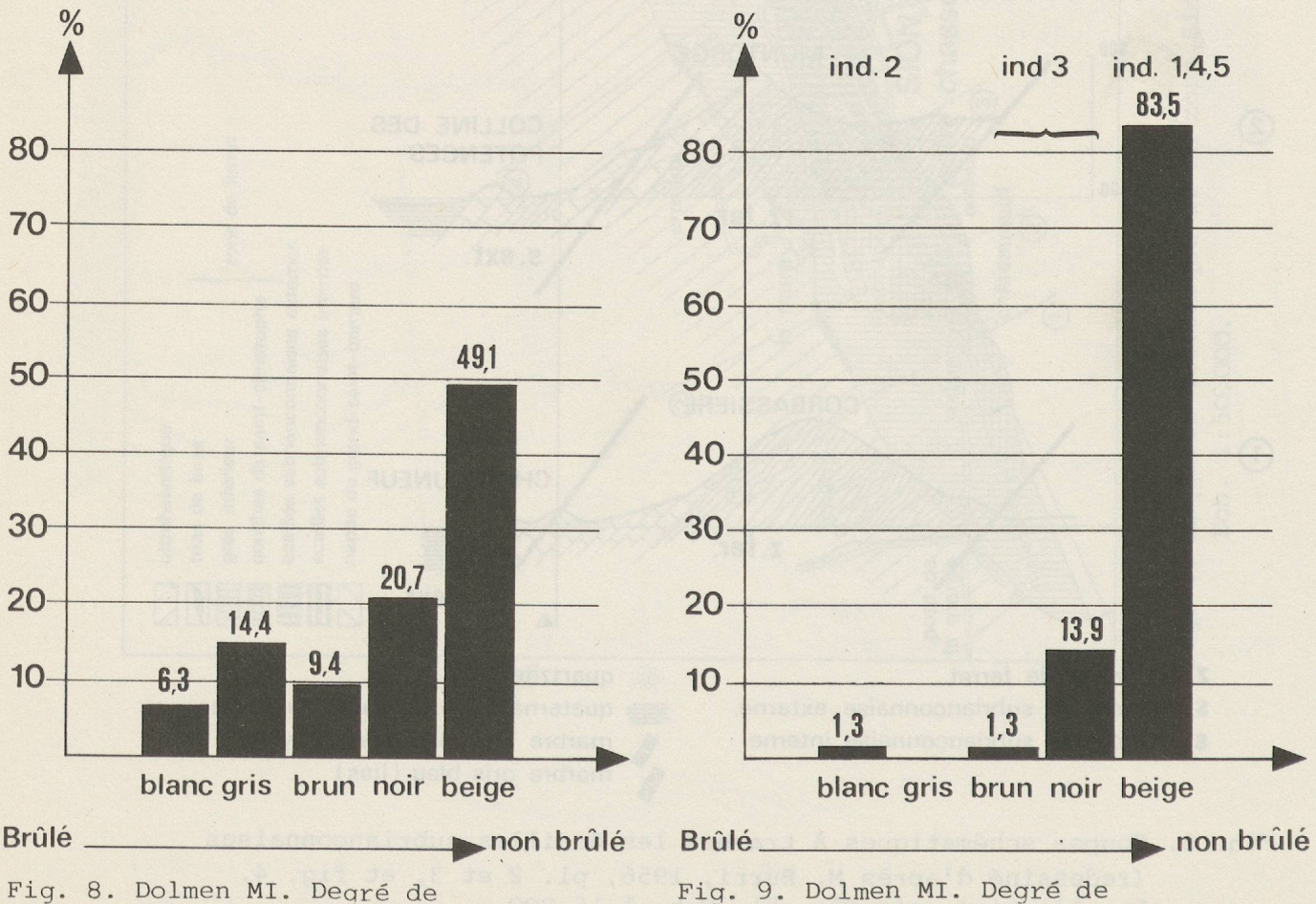


Fig. 7. Secteur occidental de l'horizon supérieur. Axes de mise en place des graviers provenant du débordement du ruisseau de Gravelone.



carbonisation des os déterminables.

carbonisation global.

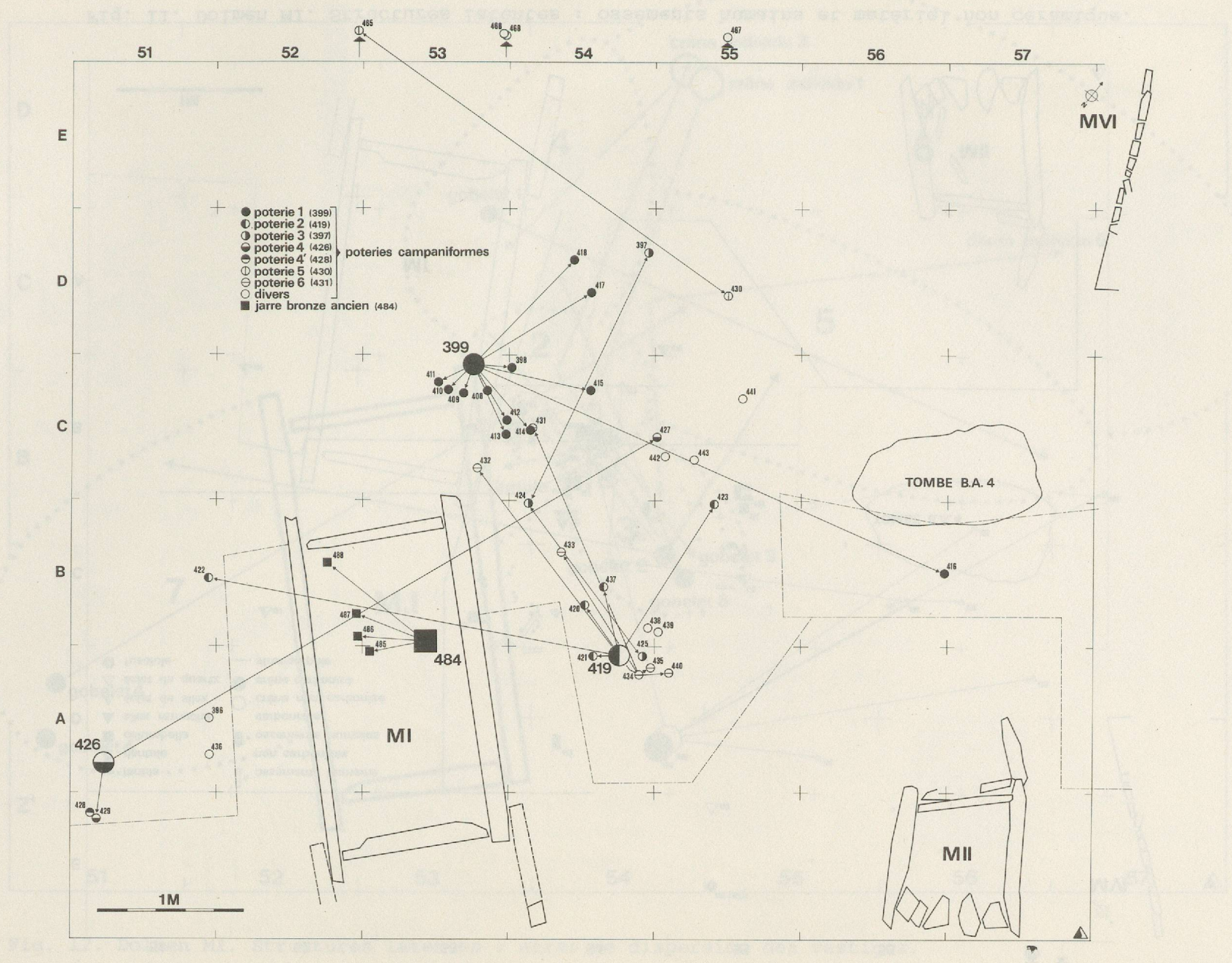


Fig. 10. Dolmen MI. Structures latentes : céramique campaniforme et Bronze ancien.

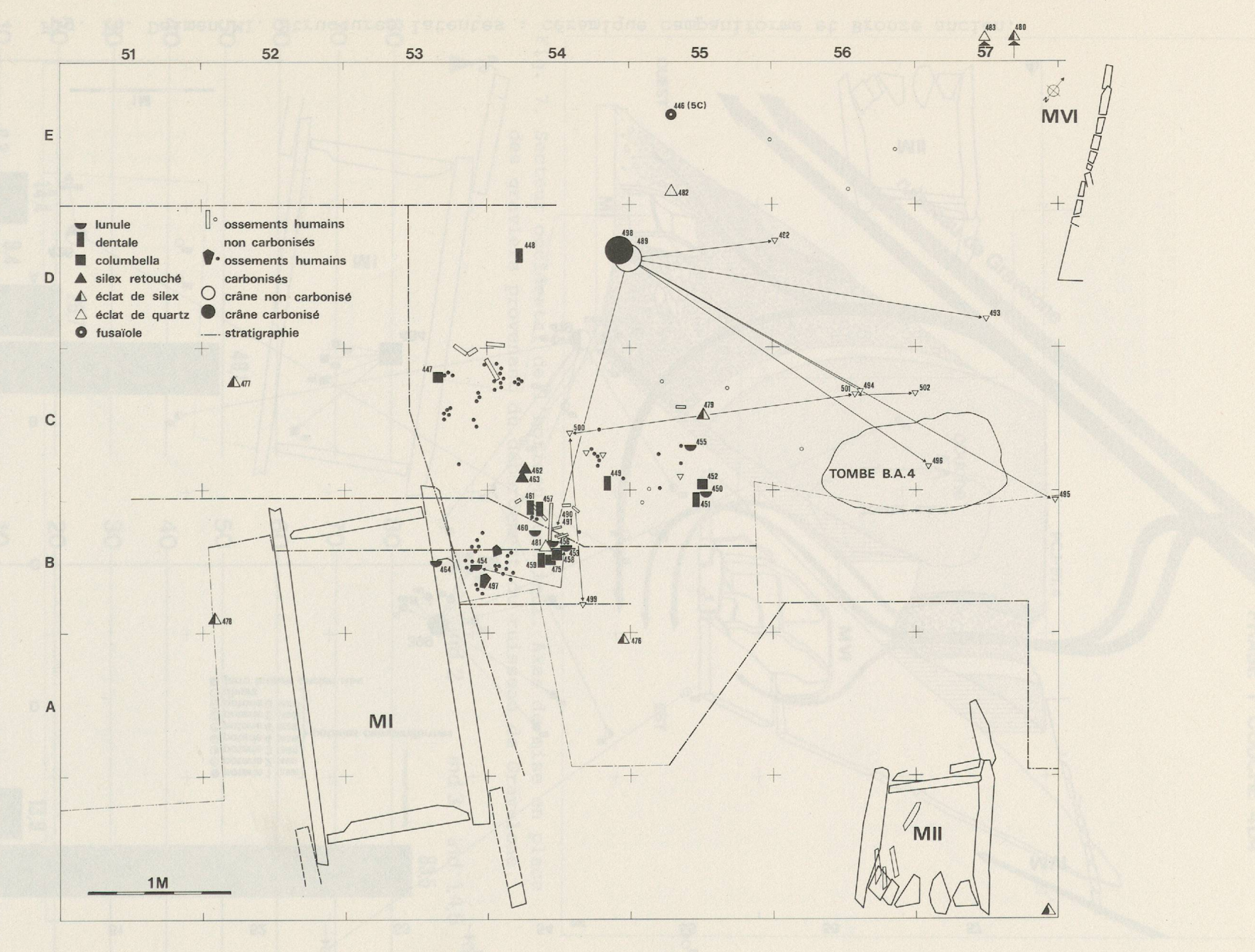


Fig. 11. Dolmen MI. Structures latentes : ossements humains et matériel non céramique.

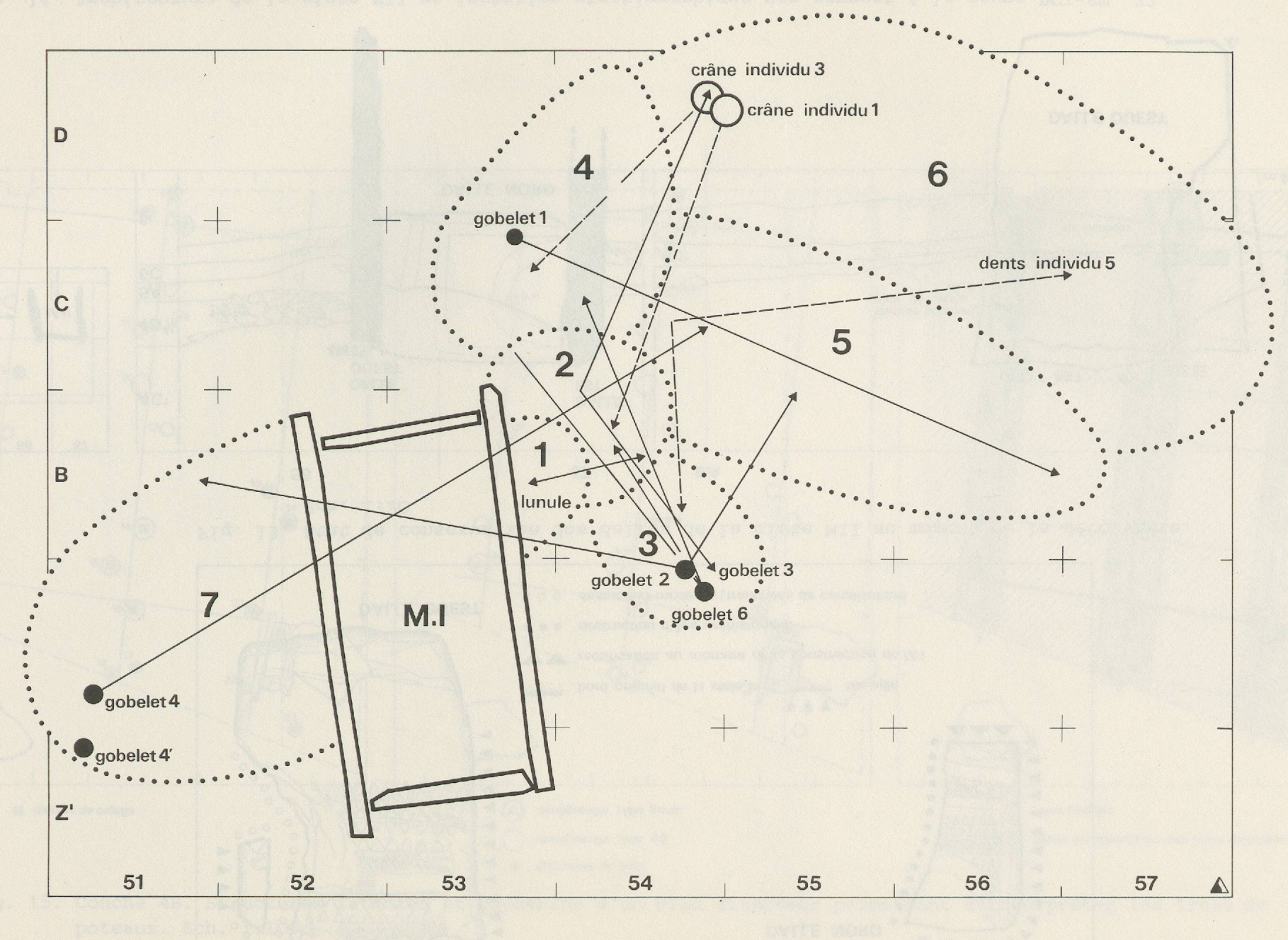


Fig. 12. Dolmen MI. Structures latentes : aires de dispersion des vestiges.

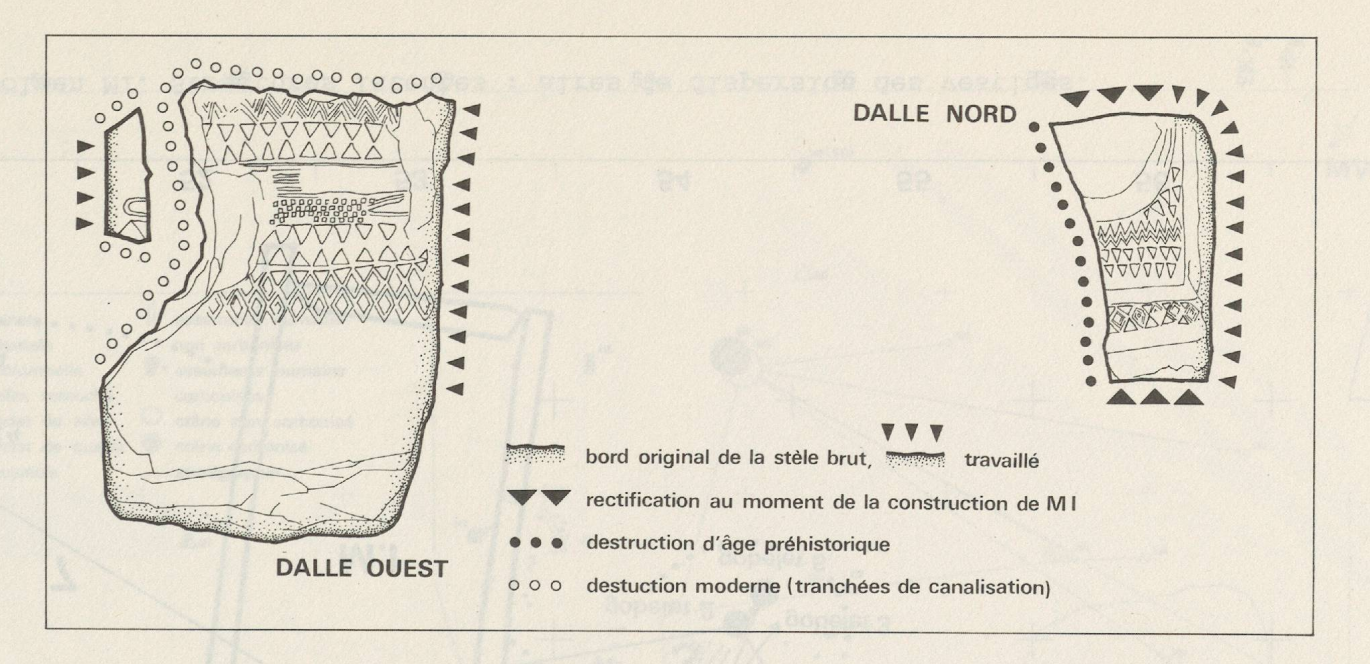


Fig. 13. Etat de conservation des dalles de la ciste MII au moment de la découverte. Ech. 1:20.

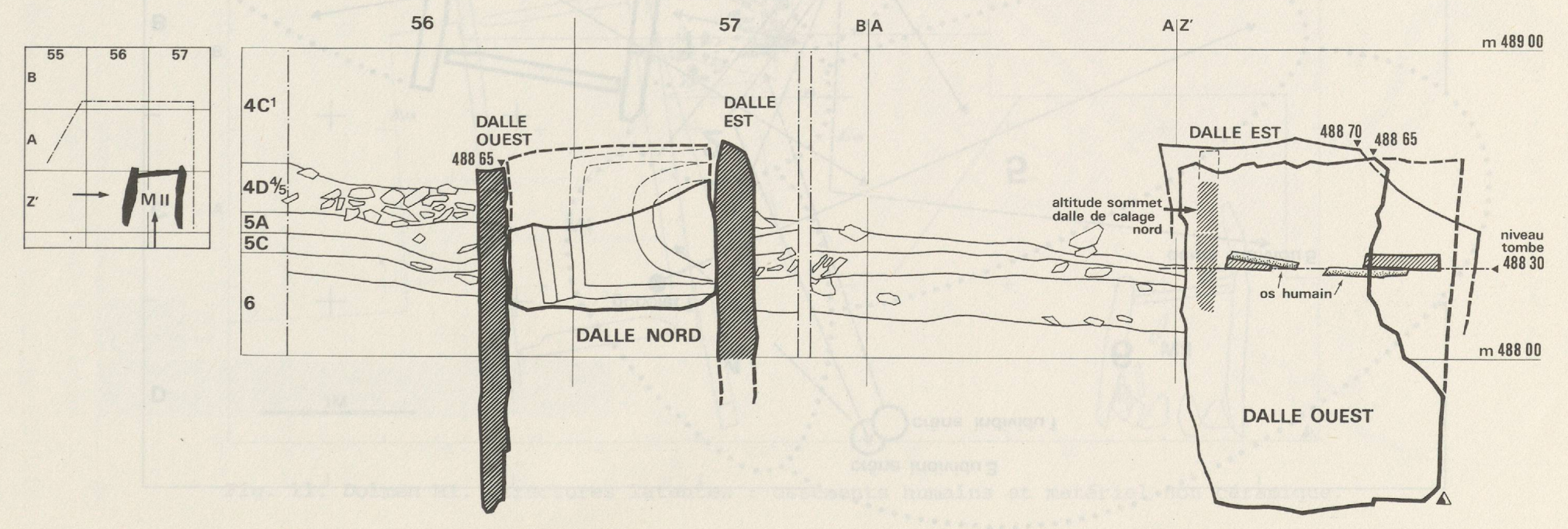


Fig. 14. Architecture de la ciste MII et insertion stratigraphique par rapport à la coupe PCI-ST. 22. Ech. 1:20.

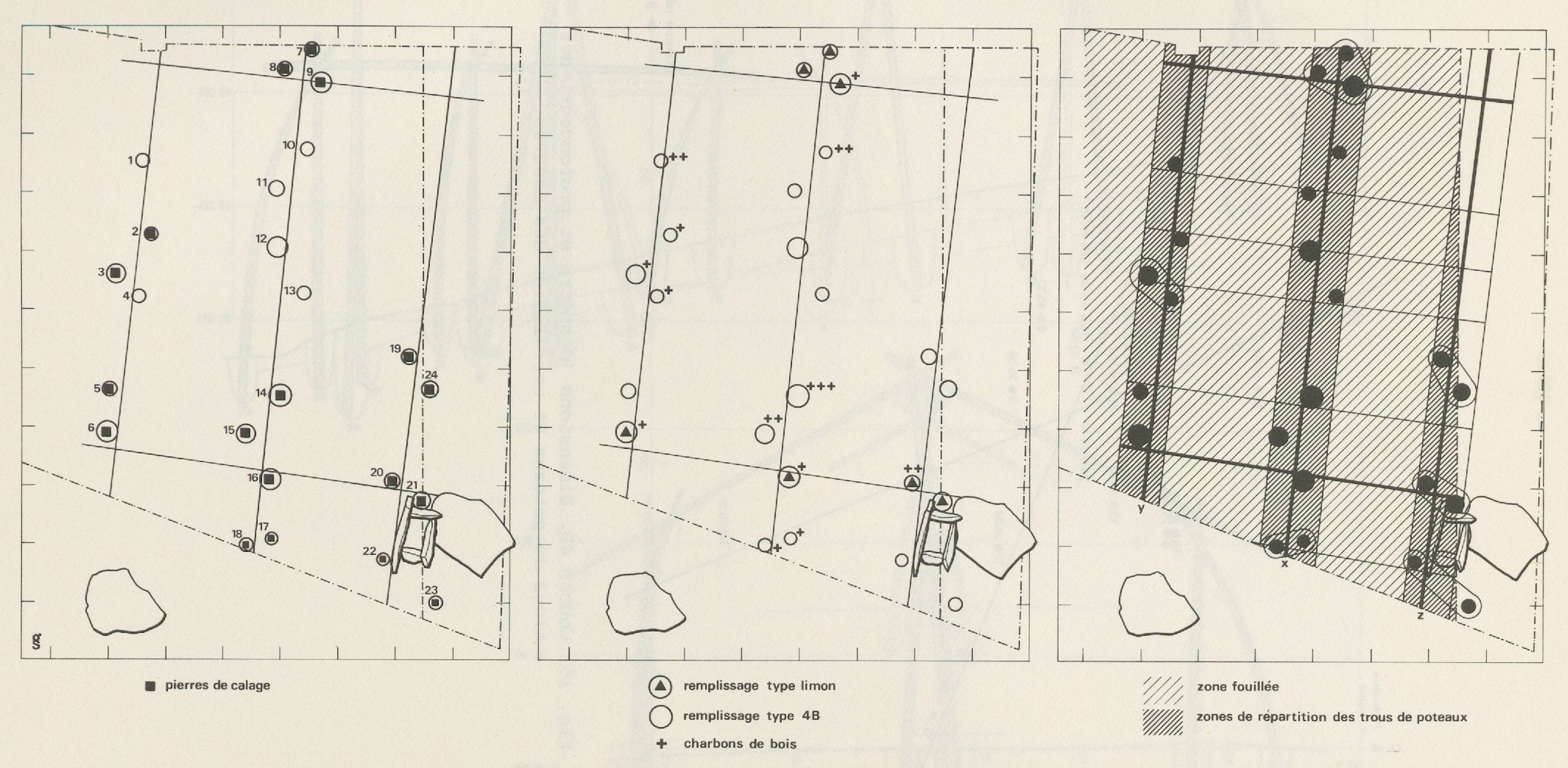


Fig. 15. Couche 4B. Structures latentes et recherche d'un plan directeur permettant d'interpréter les trous de poteaux. Ech. 1:100.

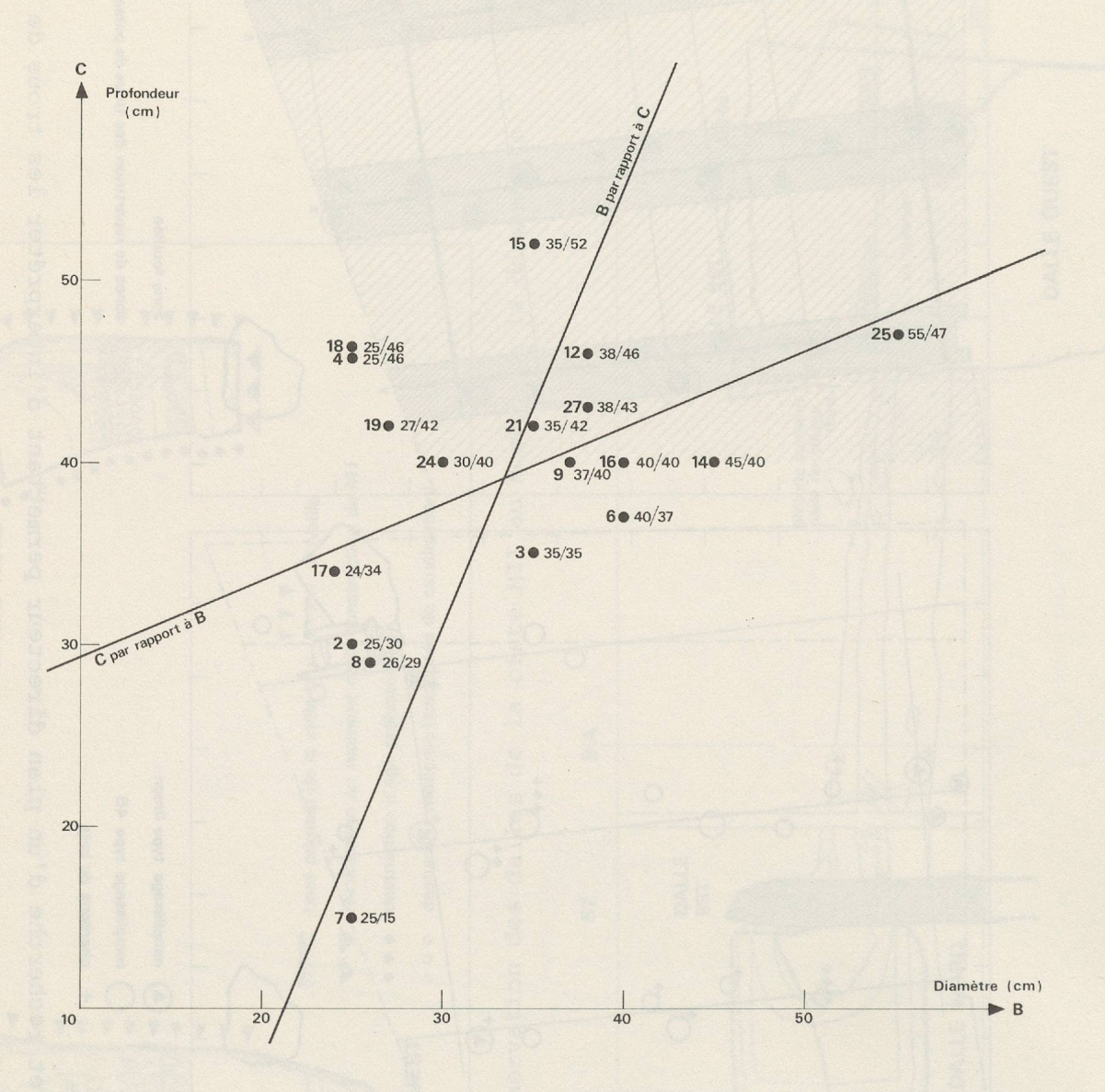


Fig. 16. Couche 4B. Dimensions (diamètre et profondeur) des trous de poteaux et corrélation des mesures.

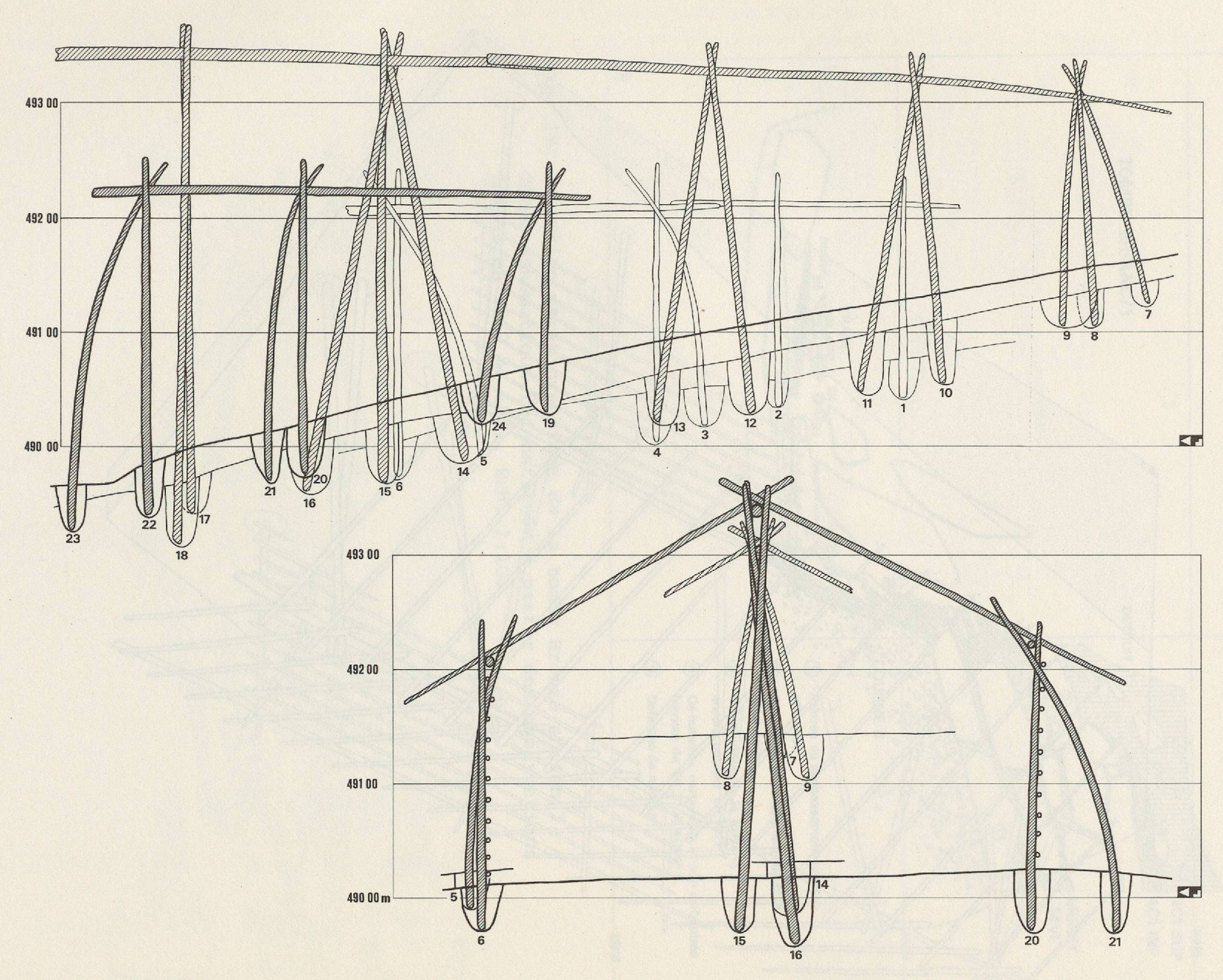


Fig. 17. Couche 4B. Reconstitution de l'armature de perches de la cabane. Ech. 1:50.

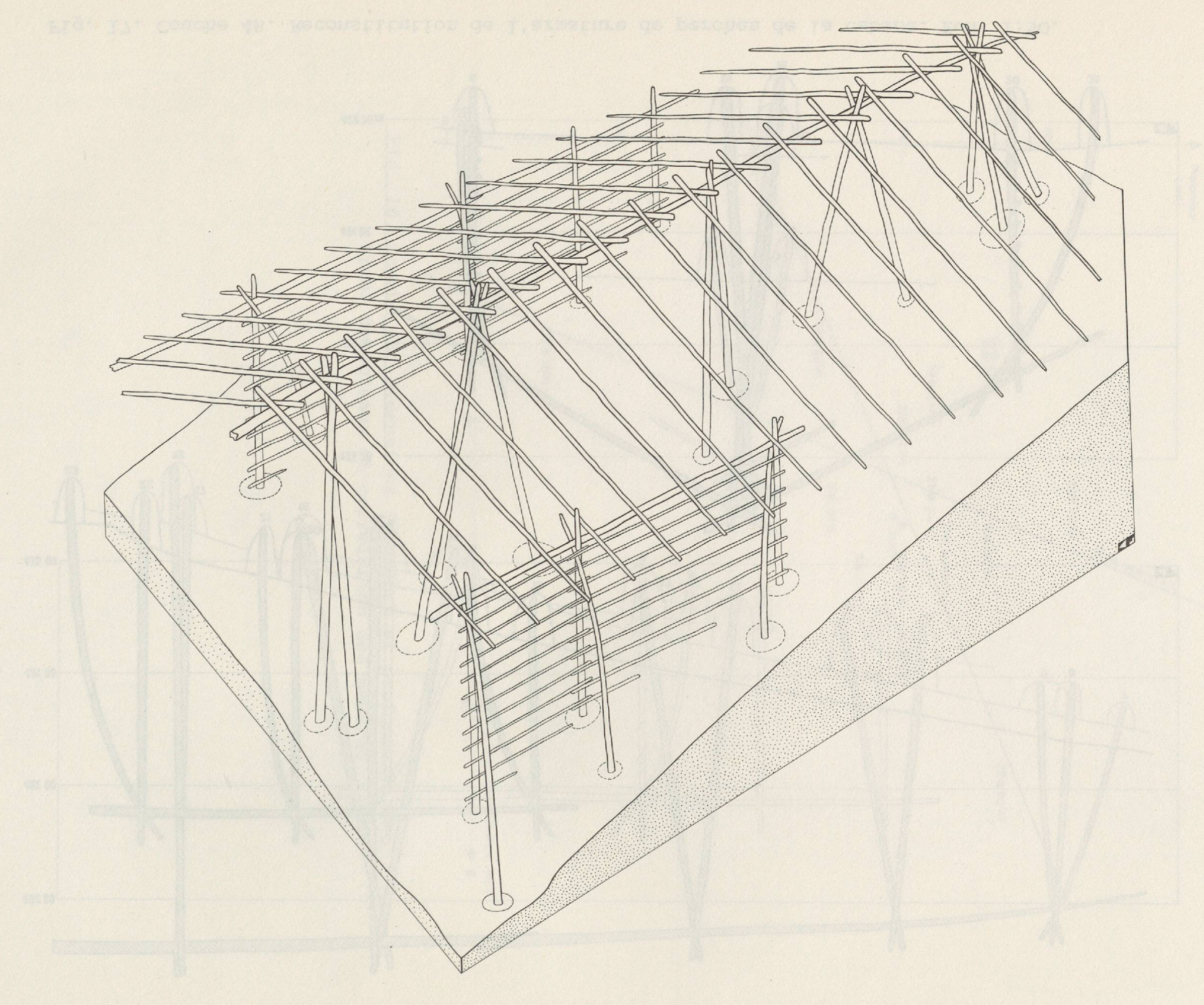


Fig. 18. Couche 4B. Perspective isométrique de la cabane reconstituée.

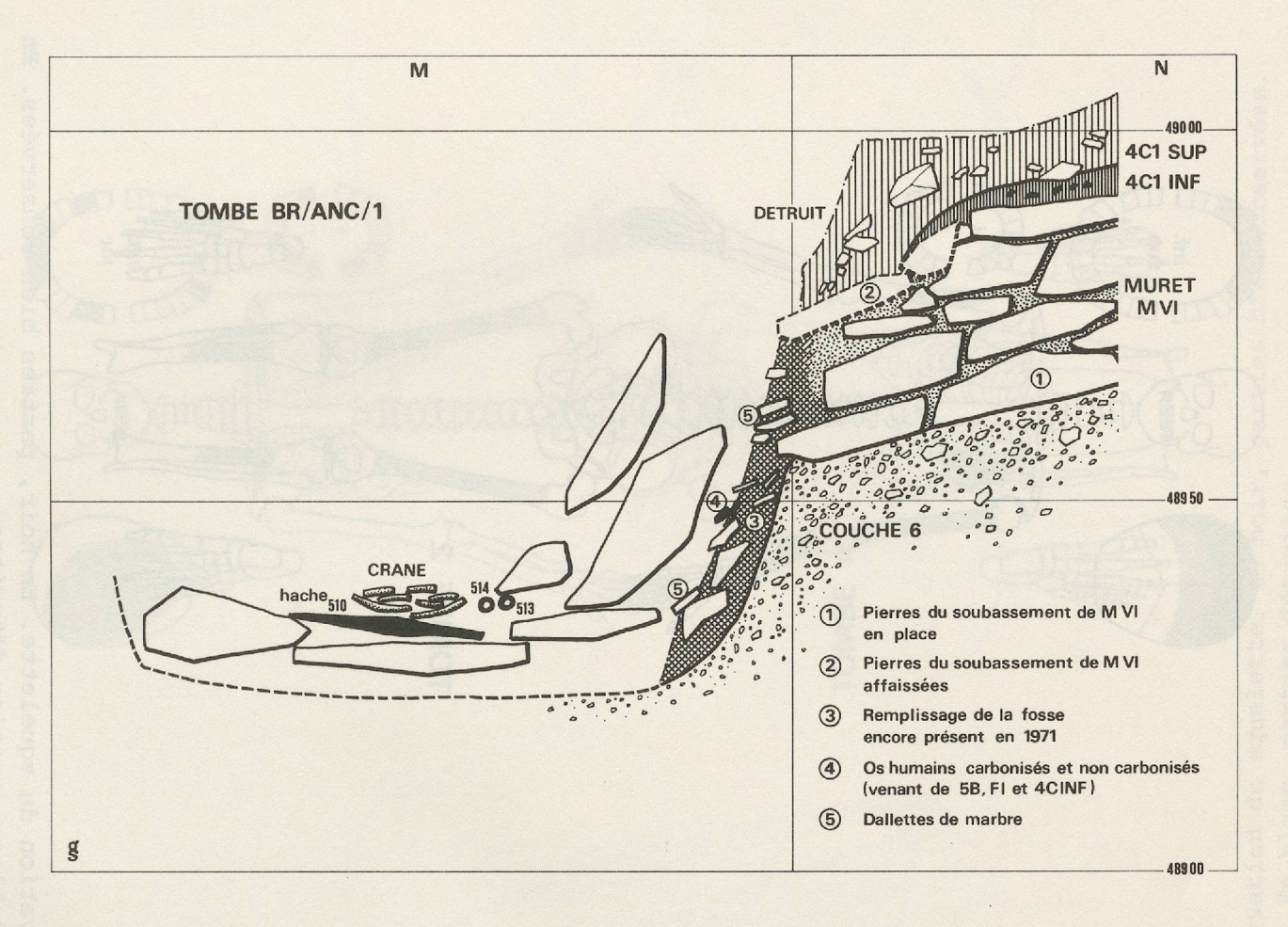


Fig. 19. Insertion stratigraphique de la tombe Bronze ancien 1. Coupe schématique reconstituée à partir des observations faites en 1969 et 1971. Ech. 1:10.

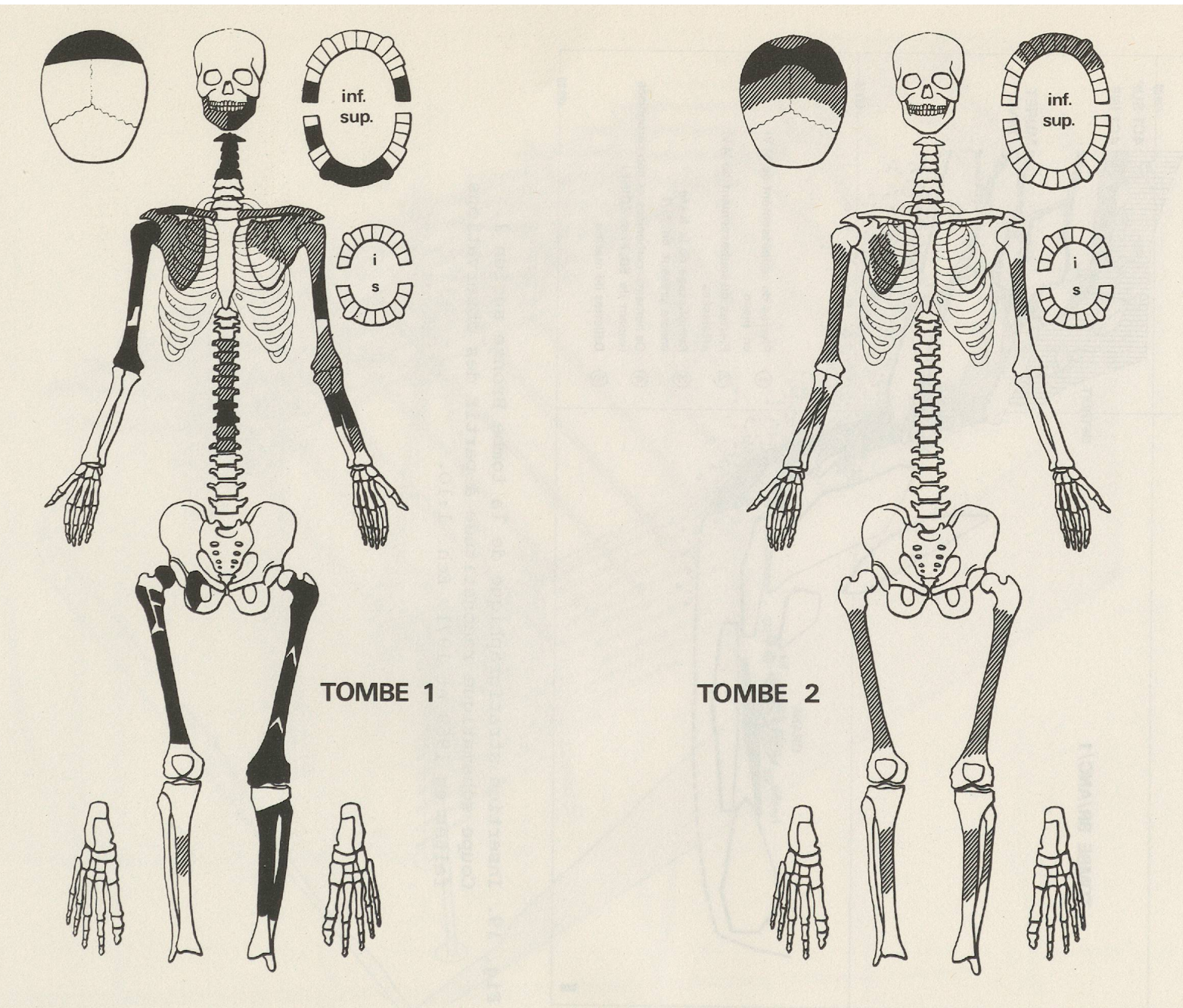


Fig. 20. Tombes Bronze ancien 1 et 2. Conservation du squelette. En noir, parties bien conservées. En hachures, parties mal conservées. En blanc, parties détruites.

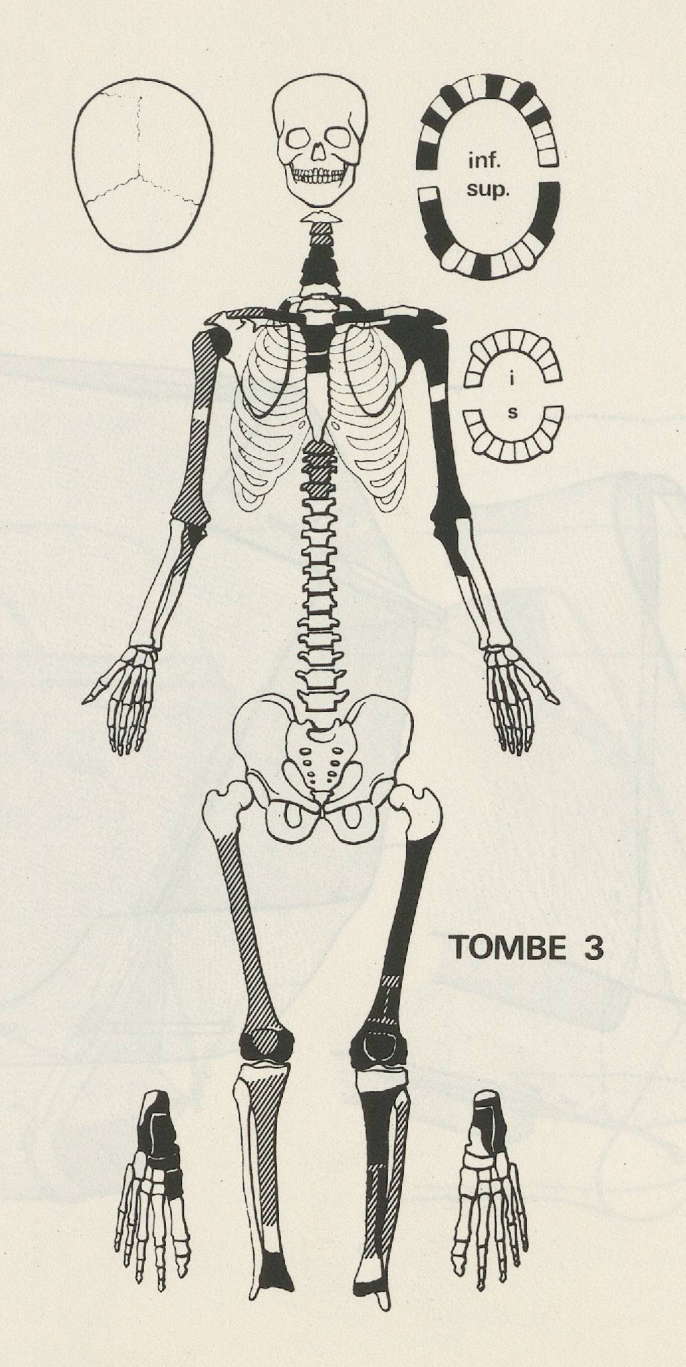


Fig. 21. Tombes Bronze ancien 3 et 4. Conservation du squelette. En noir, parties bien conservées. En hachures, partie mal conservées. En blanc, parties détruites.

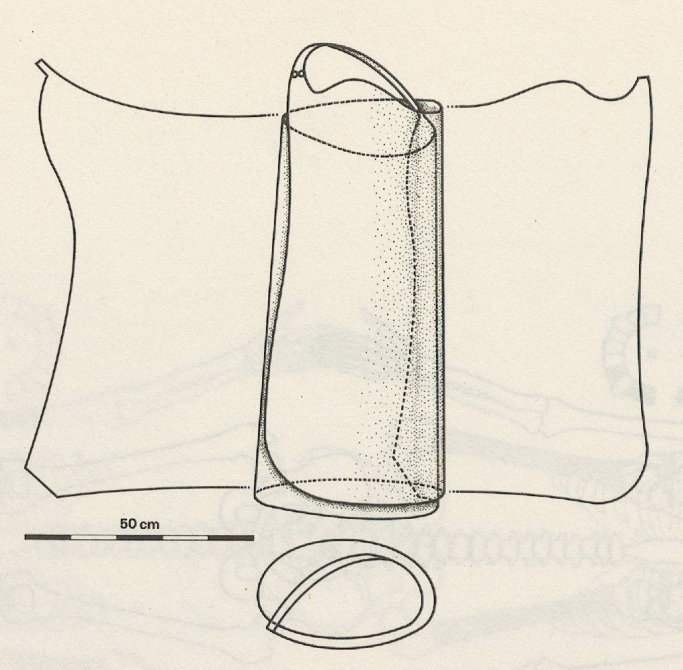


Fig. 22. Tunique de la tombe masculine de Muldbjerg (Danemark), forme générale de l'étoffe déroulée et manière de l'ajuster (d'après Broholm, 1941, fig. 16, 17 et page de garde).

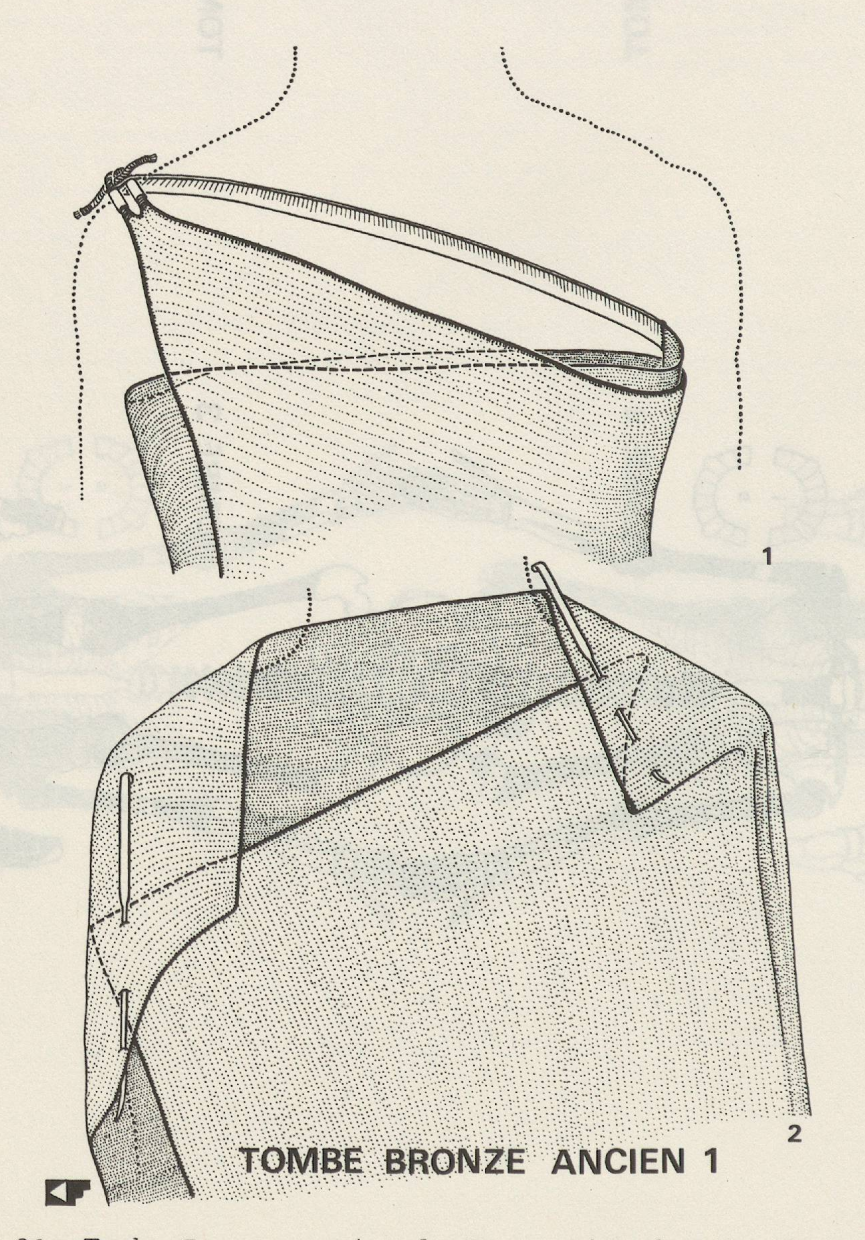
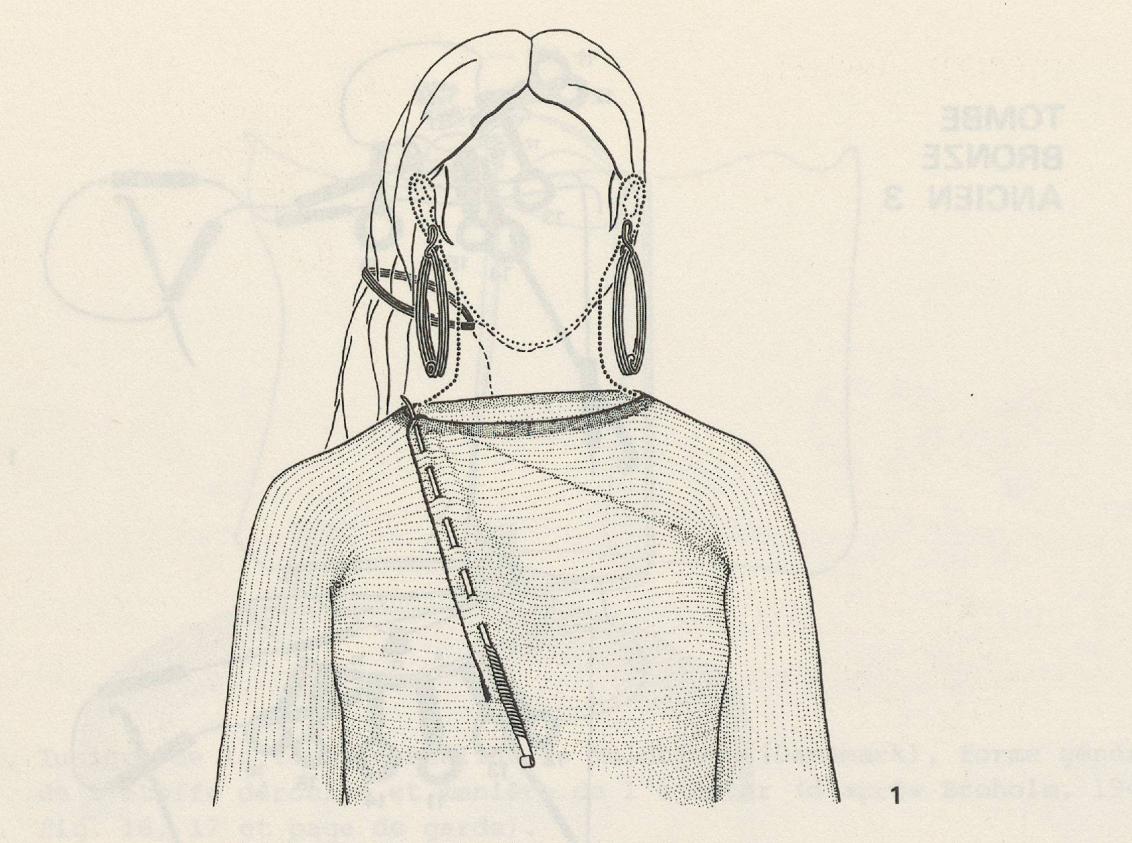


Fig. 23. Tombe Bronze ancien 1. Reconstitution du vêtement.

**TOMBE** BRONZE ANCIEN 3 2

Fig. 24. Tombe Bronze ancien 3. Reconstitution du vêtement et de la parure.



### **TOMBE BRONZE ANCIEN 2**

## **TOMBE BRONZE ANCIEN 1**

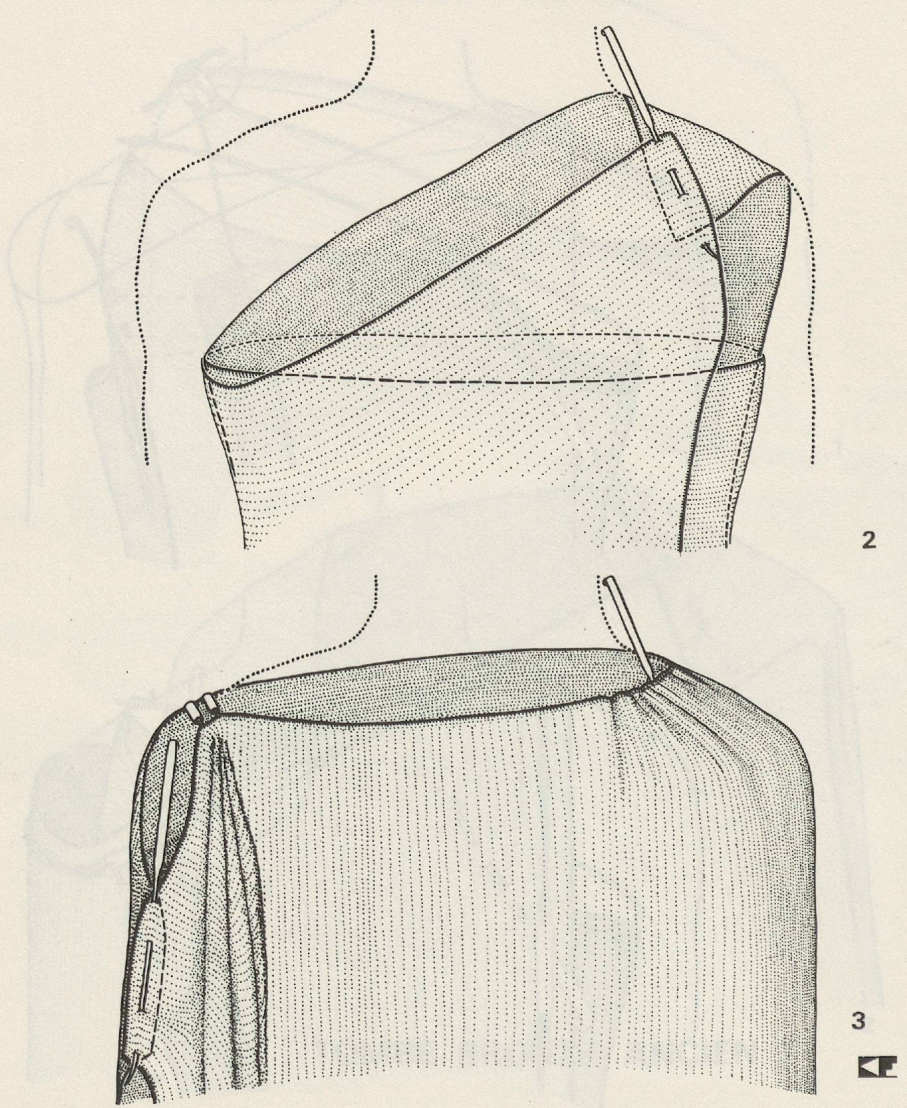


Fig. 25. Tombes Bronze ancien 1 et 2. Reconstitutions du vêtement proposées par K. Farjon.

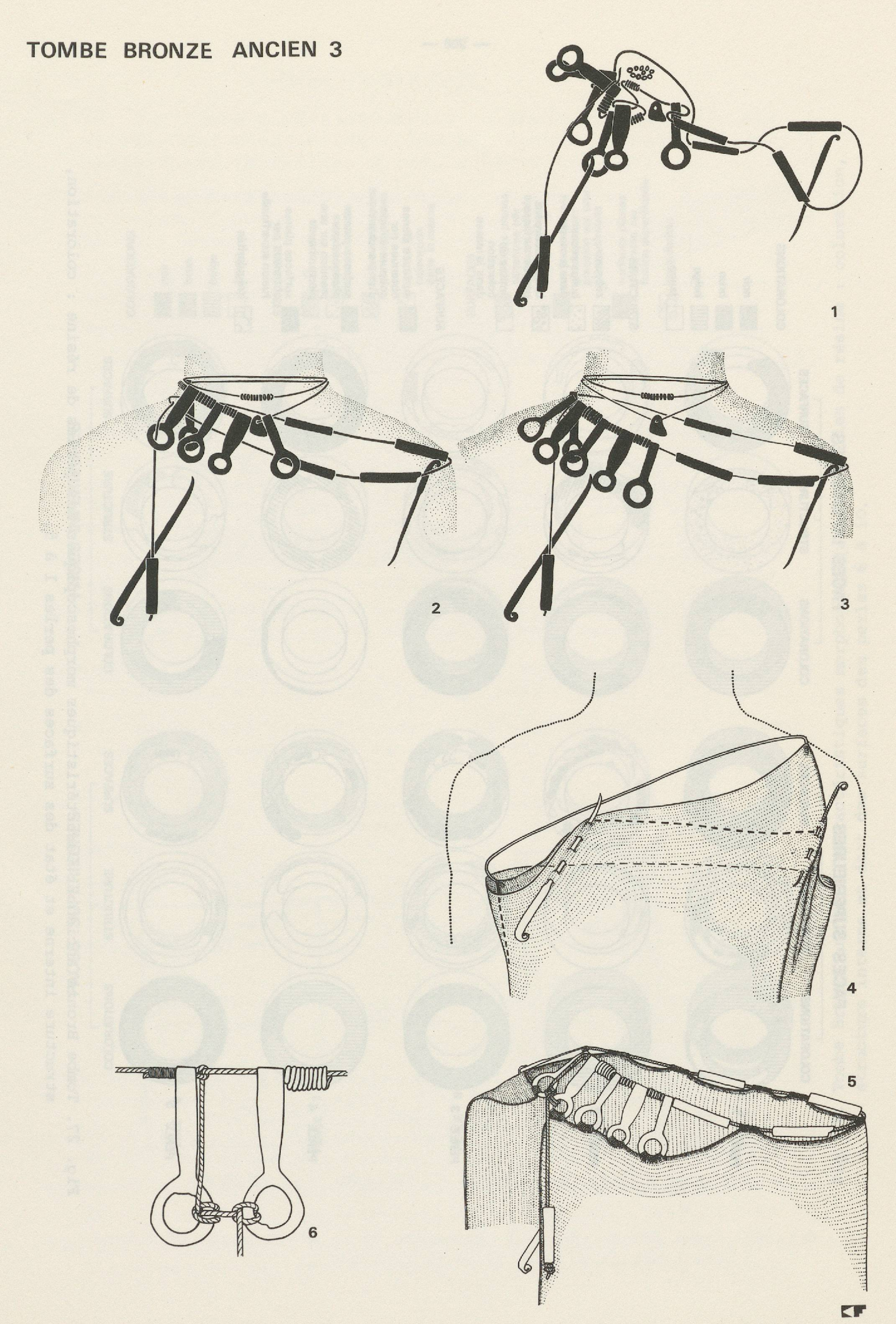


Fig. 26. Tombe Bronze ancien 3. Reconstitution du vêtement et de la parure proposée par K. Farjon.

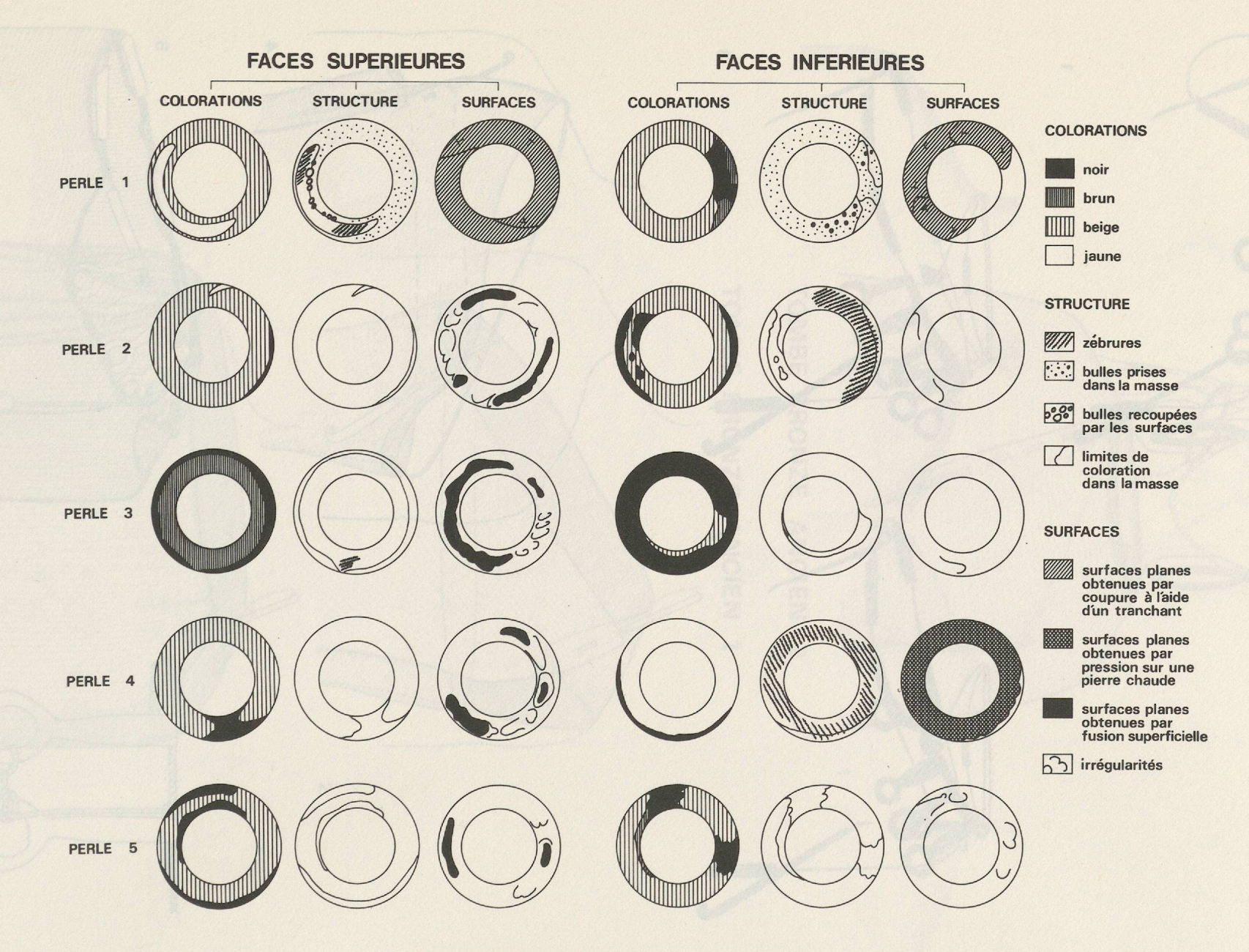


Fig. 27. Tombe Bronze ancien 3. Caractéristiques morphoscopiques des perles de résine : coloration, structure interne et état des surfaces des perles 1 à 5.

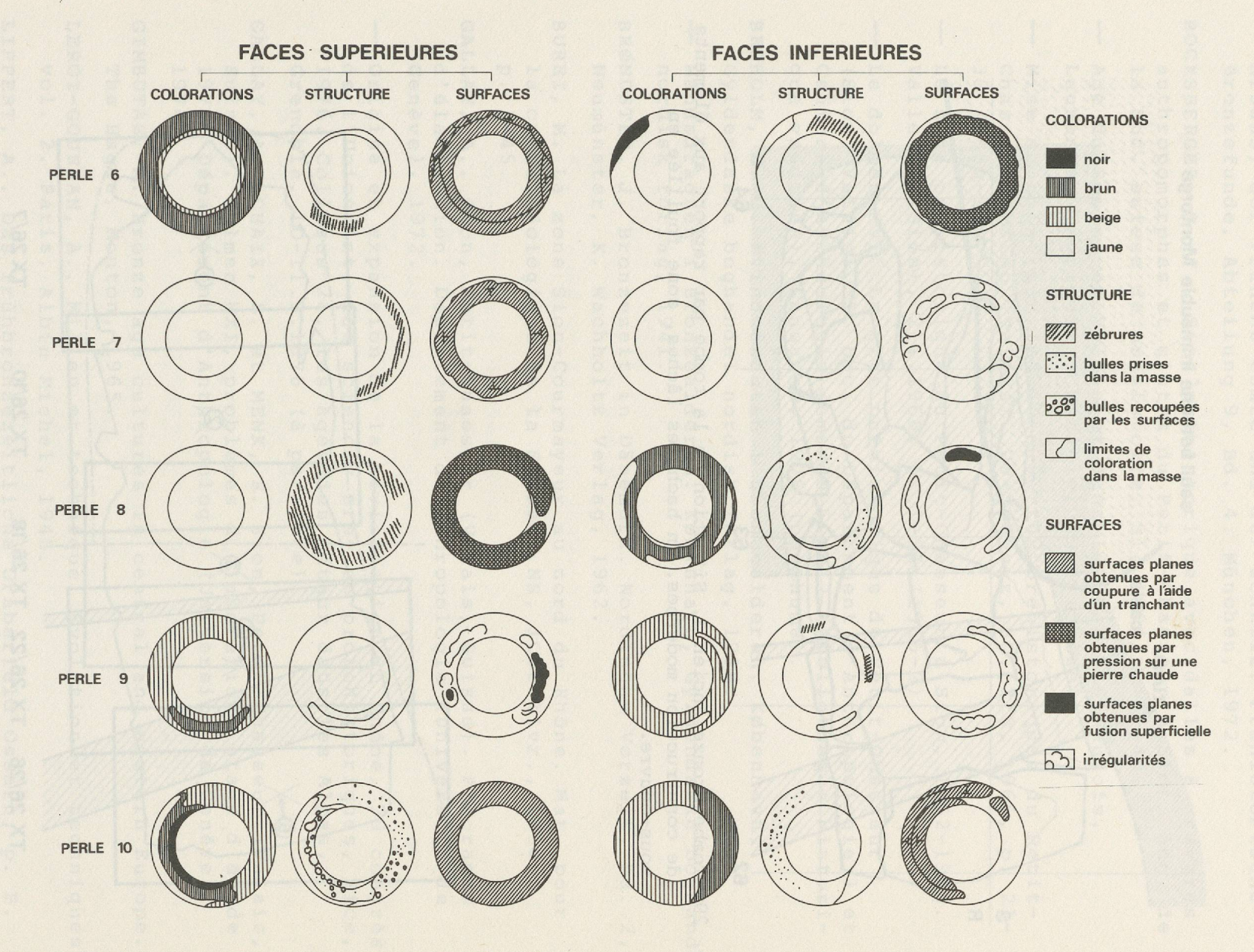


Fig. 28. Tombe Bronze ancien 3. Caractéristiques morphoscopiques des perles de résine : coloration, structure interne et état des surfaces des perles 6 à 10.

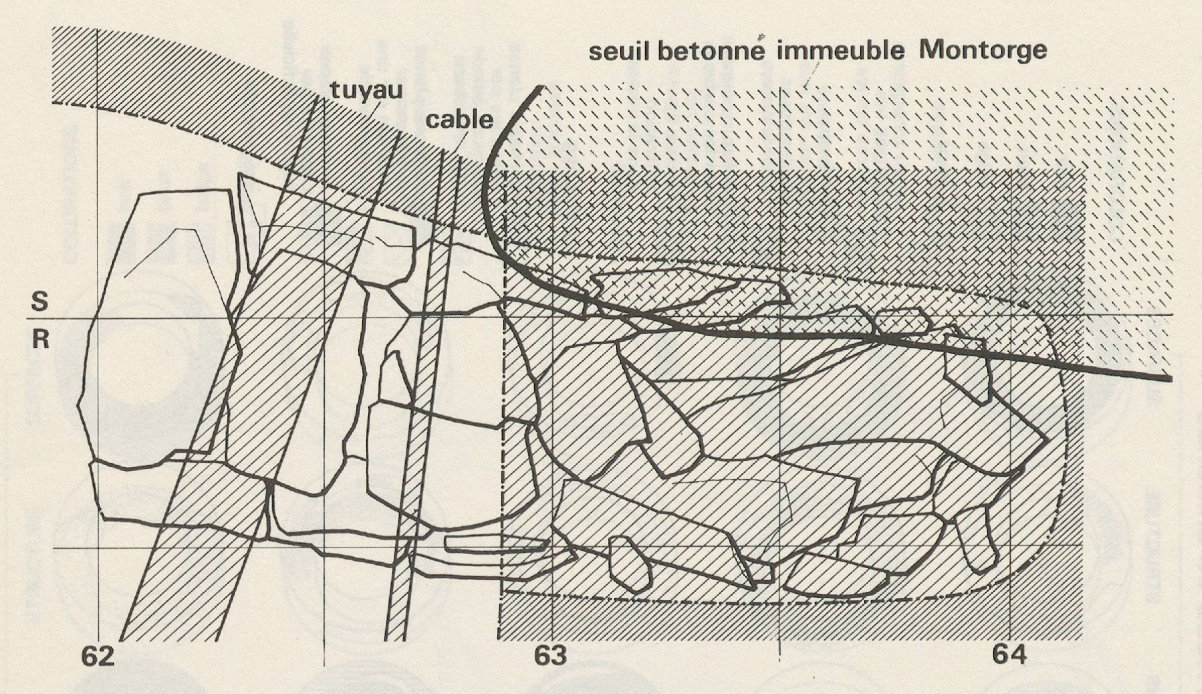


Fig. 29. Tombe Bronze ancien 3. Situation de la tombe par rapport aux éléments de construction modernes. En hachures lâches, zone fouillée en sous-oeuvre.

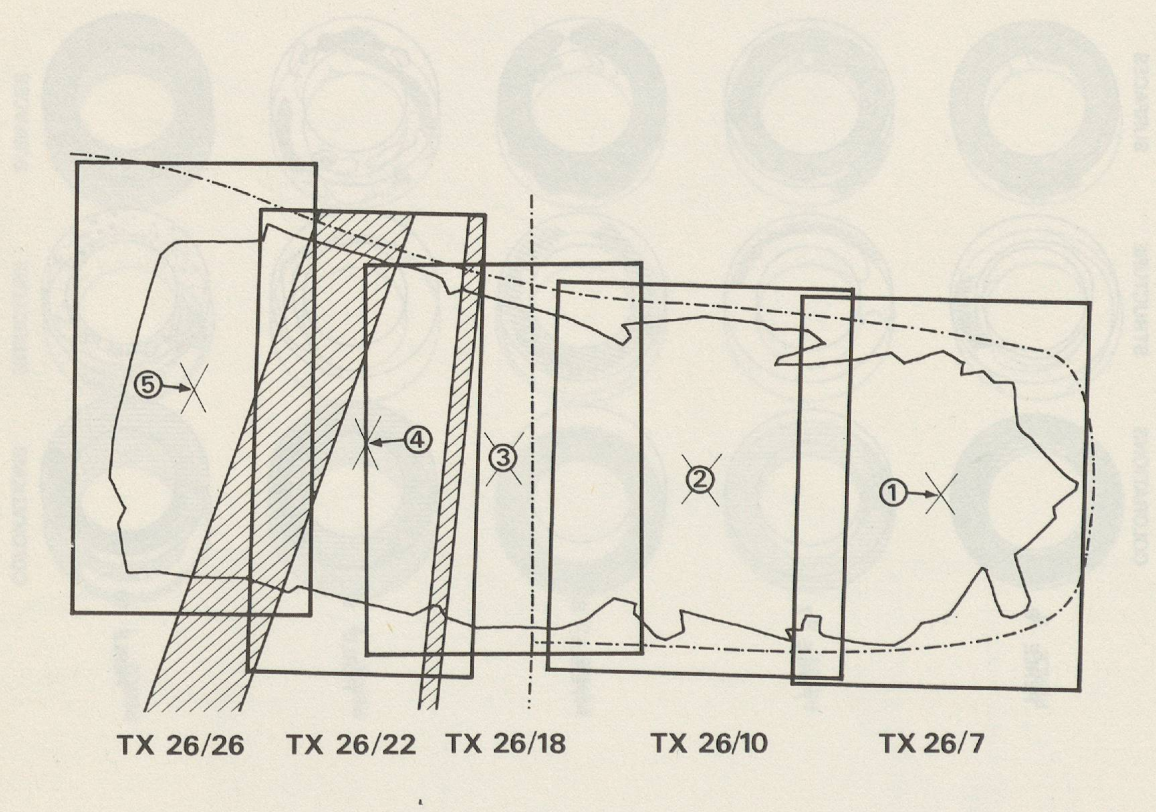


Fig. 30. Tombe Bronze ancien 3. Découpage de la prise de vue et schéma d'assemblage du montage photographique.